

## MODELIRANJE TEMPERATURNIH EFEKATA SOLARNIH SISTEMA

**Prof.dr. Ferid Softi**

Internacionalni univerzitet Travnik u Travniku, Bosna i Hercegovina

**Prof.dr. Zlatko Bundalo**

Elektrotehnički fakultet u Banjaluci

**Alija Jusić, MA-dipl. el.ing., e-mail: [al.jusic@elektroprivreda.ba](mailto:al.jusic@elektroprivreda.ba)**

JP Elektroprivreda BiH d.d., Sarajevo

**Mirsada Aličić, MA-dipl.el.ing.**

Internacionalni univerzitet Travnik u Travniku, Bosna i Hercegovina

**Sažetak:** U radu su analizirani modeli solarnih elija te njihove temperatinre zavisnosti kao i mogunost poboljšanja temperaturnih nezavisnosti parametara i preferencija sistema. Na osnovu analize rezultata temperaturne zavisnosti snage i poremena sa eksperimentalnim i simulacionim rezultatima prezentovan je opseg pogodnih radnih temperatura u cilju istraživanja mogunosti povećanja energetske efikasnosti. Ugao između upadnih Sunčevih zraka i fiksne modula neprestano se mijenja tokom dana tako da se neprestano mijenja i intenzitet upadnog zračenja.

**Ključne riječi:** Solarna energija, proizvodnja električne energije, fotonaponski moduli

## MODELING OF TEMPERATURE EFFECTS OF SOLAR SYSTEM

**Abstract:** This paper analyzed models of solar cells and their temperature dependences with possibilities of temperature independent parameters and system preferences. Based on result analyses of temperature dependence of power and comparison with experimental and simulated results, presented is the range of accepted work temperatures in the goal of research of potential increase of energy efficiency. Angle between input solar rays and fixed module is changed throughout the day and so changes the power of input radiation.

**Keywords:** Solar energy, production of solar energy, photovoltaic system

### 1. UVOD

Veoma bitne energetske oblasti danas obuhvataju iskorištavanje: solarne energije, energije vjetra, geotermalne energije, energije biomase i biogasa. Proizvodnja električne energije iz obnovljivih izvora energije te racionalna potrošnja, distribucija, pouzdanost, održavanje, ekonomičnost, stanje i razvoj, standardi i kvalitete, oprema i prateći softver objedinjuju pristup povećanju energetske efikasnosti energetskih postrojenja. Ipak korištenje obnovljivih izvora električne energije nije samo dovoljno za energetsku održivost. Posljednjih nekoliko godina u stvarnosti je primjena fotonaponskih sustava u saobraćaju.

Području je primjene unutar domene saobraćaja objasnio bih na dostupnim primjerima:

- SIGNALIZACIJA: visoki stupovi, navigacija, sirene, željeznički signalni, prometni znakovi, informacijske ploče;
- OSVJETLJAVANJE: javna rasvjeta, sigurnosna rasvjeta i
- TPS POZIVNI STUBI I.

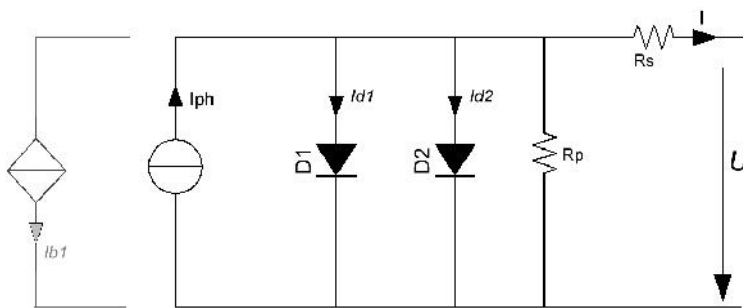
## 2. MODELI SOLARNIH ELIJA

Iskoristivost fotonaponskih panela je u zavisnosti od njihove radne temperature. Matematičko-elektronsku analizu strujno-naponskih karakteristika solarnih elija u primjeni su dva elektronska modela zasnovana na svjetlosno upravljanom spojem (model A) ili sa dva *p-n* spoja (model B). Struja elije  $I_{cI}$  za prvi model A data je u zavisnosti od napona elije  $V$  [1]:

$$I_{cI} = I_{ph}(E, T) - I_{S1}(T) \cdot (e^{\frac{V + I_{cI} \cdot R_s}{\eta_1 \cdot V_T}} - 1) - \frac{V + I_{cI} \cdot R_s}{R_p} \quad (1)$$

Pri emu je  $I_{ph}(E) = K_E \cdot E$ ,  $I_S$  invezna struja zasićenja *p-n* spoja,  $\eta$  korekcioni faktori *p-n* spoja.

Pored toga više modela solarne elije sadrži paralelu otpornost  $R_p$  i serijsku otpornost  $R_s$ .



Slika.1. Elektronski model solarne elije B

Struja elije  $I_{cII}$  prema drugom modelu B je:

$$I_{cII} = I_{ph}(E, T) - I_{S1}(T) \cdot (e^{\frac{V + I_{cII} \cdot R_s}{\eta_1 \cdot V_T}} - 1) - I_{S2}(T) \cdot (e^{\frac{V + I_{cII} \cdot R_s}{\eta_2 \cdot V_T}} - 1) - \frac{V + I_{cII} \cdot R_s}{R_p}. \quad (2)$$

Pri emu su  $\eta_1$  i  $\eta_2$  korekcioni faktori.

Vidljiv je uticaj temperature na veći broj parametara kao što je temperaturni ekvivalent napona  $V_T = T/11600$ , te inverzna struja zasićenja  $I_S$ .

Temperaturna zavisnost inverzne struje zasićenja je data kao [3]:

$$I_S(T) = qA \left[ \frac{D_n(T)}{L_n N_A} + \frac{D_p(T)}{L_p N_D} \right] \cdot C \cdot T^3 \cdot e^{-\frac{E_{go}}{kT}}. \quad (3)$$

Gdje je  $q = 1,6 \cdot 10^{-19}$  C,  $A$  – površina *p-n* spoja,  $E_{go}$  energetski procjep na temperaturi apsolutne nule,  $D_n$  difuziona konstanta za elektrone,  $D_p$  difuziona konstanta za šupljine,  $L_n$  i  $L_p$  difuzione dužine za elektrone i šupljine,  $N_A$  i  $N_D$  koncentracija akceptora i donora.

Temperaturna zavisnost inverzne struje, može se opisati na temperaturi  $T_1$ , kao:

$$I_S(T) = I_S(T_1) \cdot \left( \frac{T}{T_1} \right)^3 \cdot e^{-\frac{E_{go}}{k} \left( \frac{1}{T} - \frac{1}{T_1} \right)}. \quad (4)$$

Tako je temperaturno zavisna fotostruja  $I_{ph}$  koja je opisana kao u [2]:

$$I_{ph}(T) = I_{ph}(T_o) \cdot [1 + \alpha_{ph}(T - T_o)], \quad (5)$$

gdje je  $T_o$  temperatura ambijenta dok temperaturni koeficijent iznosi:  $\alpha_{ph} = 5 \cdot 10^{-4} \text{ K}^{-1}$ .

Za fotonaponski modul sa serijskom konekcijom  $N_s$  solarnih elija je dat [4,5]:

$$I_c = K_E \cdot E - I_S \left[ \exp(qV_p / N_s \eta kT) - 1 \right]. \quad (6)$$

Aproksimativni izraz za struju solarne elije prema modelu A uz fotostruju koja je proporcionalna intenzitetu osvjetljenja  $E$  datu sa  $I_{ph}(E, T) = K_E \cdot E$ , ( $K_E = 0,0004 \text{ A/Wm}^2$ ), iznosi:

$$I_{co} = K_E \cdot E - I_S \left[ e^{qV_c / \eta kT} - 1 \right] - \frac{V_c}{R_p} \quad (7)$$

### 3. ANALIZA SNAGE SOLARNE ELIJE

Snaga solarne elije u zavisnosti od temperature opisana je sa:

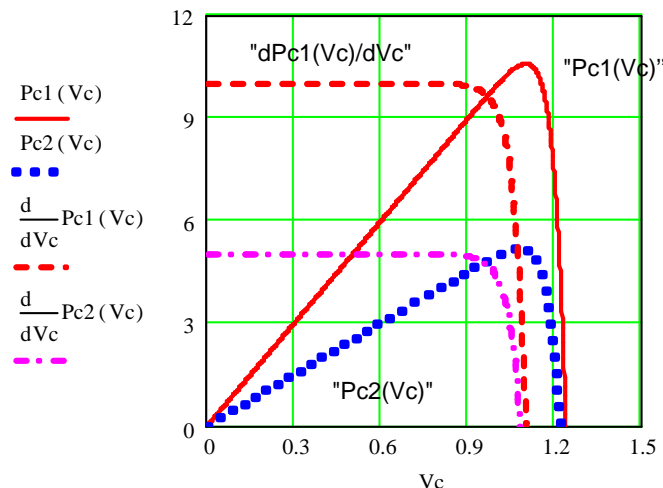
$$P_c = V_c \cdot \left[ K_E \cdot E - I_S(T) \cdot (e^{\eta kT} - 1) \right]. \quad (8)$$

Snaga solarne elije u funkciji od temperature data je sa:

$$\begin{aligned} P_c = & V_c \cdot I_{ph}(T_o) \cdot [1 + \alpha_{ph}(T - T_0)] - \\ & - V_c \cdot I_S(T_0) \cdot \left( \frac{T}{T_0} \right)^3 \cdot e^{-\frac{E_{go}}{k} \left( \frac{1}{T} - \frac{1}{T_0} \right)} \cdot (e^{\eta kT/q} - 1) \end{aligned} \quad (9)$$

Ova relacija reprezentuje matematički model tipične solarne elije u fotonaponskom modulu. Sa promjenom temperature snaga se povećava do maksimalne vrijednosti. U toj korelaciji treba posmatrati struju kratkog spoja te napon praznog hoda.

Dat je dijagram promjene snage po naponu dP/dV raf zavisnost snage pri dvije vrijednosti intenziteta osvjetljenja u funkciji od napona elije predstavljen je na sl. 2.



Slika.2. Zavisnost snage pri dvije vrijednosti intenziteta osvjetljenja i  $dP/dV$  u funkciji od napona elije.

Optimalna radna tačka je veoma bitna za rad fotonaponskog modula. Vrijednost faktora korekcija  $\eta$  određuje se prema uslovu dobijanja maksimalne snage:  $\frac{dP_c}{dV_c} = 0$  pri struji kratkog spoja  $I_{sc} = I_{ph}$  kada je napon optimalan  $V_c = V_{c,opt}$  [6,7]. Tako se dobija da je, pri  $I_S \ll I_{sc}$ , relacija za struju prezentovana sa :

$$I_S \exp\left(qV_{c,opt}/\eta kT\right) = \eta kT (I_{sc} + I_S) / (\eta kT - qV_{c,opt}).$$

$$\eta = \frac{q}{kT} V_{c,opt} \left(1 - \frac{I_{sc}}{I_c}\right). \quad (10)$$

Na osnovu mjerjenja i optimiziranja rezultata dobija se faktor  $\eta = 1,587$ .

#### 4. EKSPERIMENTALNI REZULTATI

Za eksperimentalne rezultate i analizu temperaturnih zavisnosti strujno-naponskih karakteristika i karakteristika je korištene su rezultati simulink modela. Za eksperiment je korišten fotomodul (*PV module*) proizvodnje Solaris H250, Novigrad. Rezultati mjerjenja su izvedeni uporedno na fiksnom i pokretnom sistemu uz sastavne elemente: modul H250, baterija SLA LP12-7.0, regulator punjenja Microlamp 4A i „Solar Tracker“ uređaj za kontrolu ose istok-zapad.

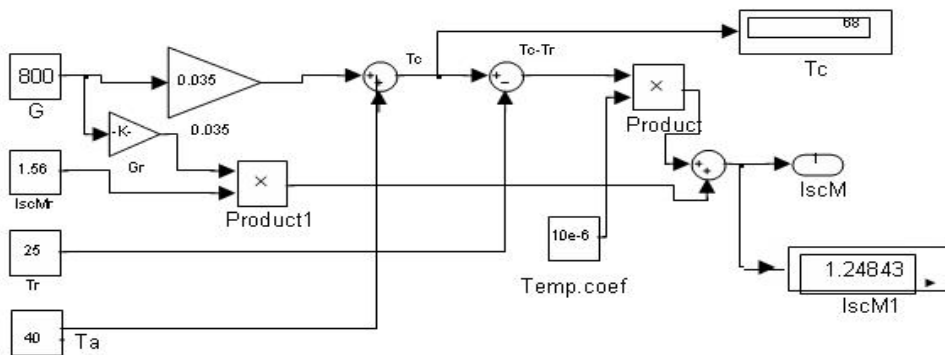
Vršna snaga ( $W_p$ )	25 W
Struja kratkog spoja ( $I_{sc}$ )	1,56 A
Napon praznog hoda ( $V_{oc}$ )	21,5 V
Napon maksimalne snage ( $V_{mp}$ )	18 V
Struja maksimalne snage ( $I_{mp}$ )	1,39 A

Matematička osnova modela PV modula za traženje maksimalne snage ( $I_{mM}$  i  $V_{mM}$ ) je data izrazima:

$$I_{mM} = I_{mMr} \cdot \frac{G}{G_r} + \left( \frac{dI_{scM}}{dT} \right) \cdot (T_c - T_r) \quad (11)$$

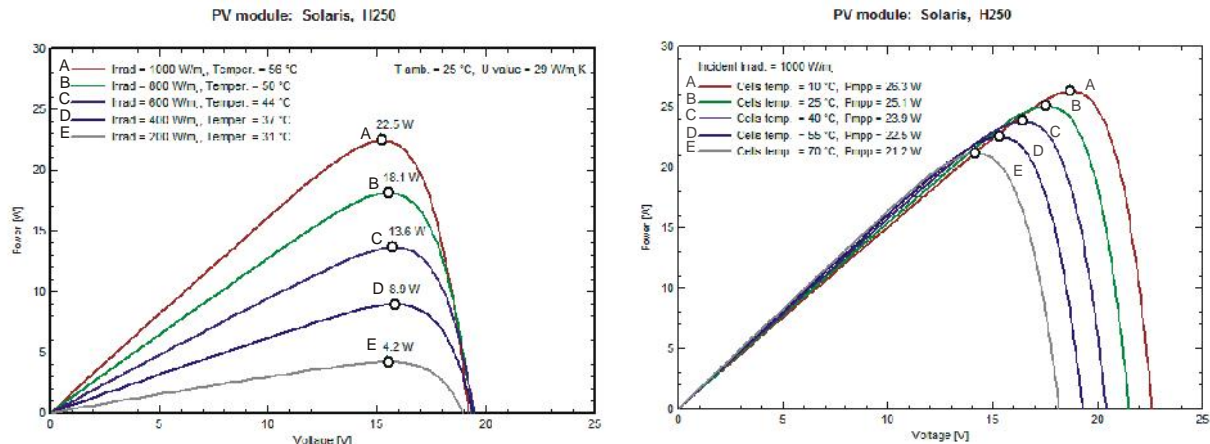
$$V_{mM} = N_s \cdot V_T \cdot \ln \left( 1 + \frac{I_{scM} - I_{mM}}{I_{scM}} \cdot \left( e^{\frac{V_{ocM}}{N_s \cdot V_T}} - 1 \right) \right) - I_{mM} \cdot R_{sM} \quad (12)$$

Na osnovu jednačina (7) do (12) predložen je i realizovan model u Matlab/Simulink paketu, uz uobzirene uticaje intenziteta zračenja i temperature. Korišteni su osnovni podaci dati od strane proizvođača modula pri (STC Standard Test Condition: Modul tip H250 „Solaris“ Novi Grad,  $I_{scM}=1,56A$ ,  $V_{ocM}=21,5V$ ,  $P_{max}=25W$ , temperaturni koeficijent struje kratkog spoja  $I_{scM}=10\mu A/{}^\circ C$  i temperaturni koeficijent napona otvorenog kola  $V_{ocM}=-80mV/{}^\circ C$ ).



Slika. 3. Simulink model fotonaponskog modula H250

Pri promjeni temperature od 50 K, prema Slici 4, dolazi do smanjenja maksimalne snage za 3,2%/K, dok je promjena napona u istim tačkama  $\Delta V/\Delta T = -3 mV/K$ .



Slika 4. Zavisnost snage od napona elije pri vrijednosti temperature u opsegu od 300 K do 350 K.

Slika 5. Zavisnost snage od temperature pri dvije vrijednosti foto struje  $I_{ph}(T_0) = 5 mA$  i  $I_{ph}(T_0) = 10mA$ .

Na Slici 4. prezentovani su simulacioni rezultati zavisnosti struje fotomodula od napona pri konstantnoj osvjetljenosti  $1000W/m^2 = 1000W/m$  pri razliitim temperaturama od  $10^\circ C$  do  $70^\circ C$  [6,7].

**TABELA I**

<b>Incandescent house lamp</b>	<b>Ekserimentalni rezultati Si solarne elije A</b>		
	<b><math>E [lx]</math></b>	<b><math>V_{oc} [mV]</math></b>	<b><math>I_{sc} [mA]</math></b>
1.	<b>263</b>	<b>314,5</b>	<b>8,69</b>
2.	<b>333,40</b>	<b>337,9</b>	<b>11,50</b>
3.	<b>475,33</b>	<b>352,5</b>	<b>15,01</b>
4.	<b>634,29</b>	<b>367,3</b>	<b>17,89</b>

**TABELA II**

	<b>Ekserimentalni rezultati Si solarne elije B</b>		
	<b><math>E [lx]</math></b>	<b><math>V_{oc} [mV]</math></b>	<b><math>I_{sc} [mA]</math></b>
1.	<b>263</b>	<b>191,5</b>	<b>1,56</b>
2.	<b>333,40</b>	<b>195</b>	<b>1,63</b>
3.	<b>475,33</b>	<b>199,5</b>	<b>1,69</b>
4.	<b>634,29</b>	<b>212,7</b>	<b>2,06</b>

Mjerenja su vršena pri različitim intenzitetima osvjetljenja što je predstavljeno u tabelama.

## 5. ZAKLJUČAK

Povećanje efikasnosti fotonaponskih sistema moguće je postići i na više načina. U radu je opisan i korišten jedan od načina a to je održavanja stabilne temperature koristeći dodatna hlađenja sistema. Analiza strujno-naponskih karakteristika solarnih elija i fotomodula pokazuju da se maksimalna snaga smanjuje sa povećanjem temperature što ukazuje na potrebu održavanja stalne temperature koristeći dodatna hlađenja sistema. Povećanje efikasnosti fotonaponskih sistema moguće je postići i krištenjem metoda pravjenja trajektorije Sunca i podešavanja optimalnog položaja fotonaponskog modula kao i određivanja optimalnog ugla fotomodula. Optimiziranje efikasnosti solarnih sistema obuhvata posebne tehnološke konstrukcije, 3D Solar Cell koji omogućavaju High Efficiency Design to Produce 200% of the Power Output of Convencional Solar Cells.

## Literatura

- [1] Ioannis-Thomas K. Theologitis: "Comparison of existing PV models and possible integration under EU grid specifications", Electric Power Systems Second Level Stockholm, XR-EE-ES 2011:011 Sweden 2011.
- [2] A. Stjepanovic, S. Stjepanovic, F. Softi, Z. Bundalo: "Photovoltaic power sources in small electric vehicles", ELECTROMOBILITY 2011, 1<sup>st</sup> International Electromobility Congress in Prague, 12.-15.5.2011. National Technical Library, Prague, Czech Republic, 2011.
- [3] André Mermoud, Thibault Lejeune: Performance Assessment Of a Simulation Model for PV Modules Of Any Available Technology, 25th European Photovoltaic Solar Energy Conference – Valencia, Spain, 6-10 September 2010.
- [4] J. Dixon, A. Zúñiga, A. Abusleme, D. Soto: "Battery Powered Electric Car Using Photovoltaic Cells Assistance". Research Projects in Electric Traction, Universidad Católica de Chile, Project Fondecyt N°1020982.
- [5] G. Walker, "Evaluating MPPT converter topologies using a MATLAB PV model," Journal of Electrical & Electronics Engineering, Australia, IEAust, vol.21, No. 1, 2001, pp.49-56.

- [6] M. Francisco., González-Longatt: "Model of Photovoltaic Module in Matlab™", 2do Congreso Iberoamericano De Estudiantes De Ingeniería Eléctrica, Electrónica Y Computación -Ii Cibelec, 2005 .
- [7] "H250 Data sheet", Solaris, Novigrad, Republic of Croatia, [www.solaris-novigrad.hr](http://www.solaris-novigrad.hr)
- [8] <http://www.pvsyst.com>